

## ДИФФУЗИЯ ТИТАНА В СПЛАВАХ ЦИРКОНИЙ — ВОДОРОД И ЦИРКОНИЙ — ДЕЙТЕРИЙ

*И. О. Башкин, Е. И. Рабкин, Б. Б. Страумал*

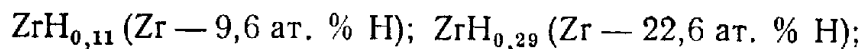
С помощью микрорентгеноспектрального анализа измерены коэффициенты взаимной диффузии в диффузионных парах титан — цирконий и титан — сплавы циркония с водородом и дейтерием в области существования  $\beta$ -фазы с ОЦК решеткой. Показано, что внедренные в цирконий водород и дейтерий повышают энергию активации диффузии атомов замещения. На основе данных о взаимной диффузии проведен термодинамический анализ твердых растворов Ti—Zr, легированных H и D, оценена температура плавления гидрида и дейтерида циркония.

Известно, что если титановый сплав насытить водородом, то деформируемость этого сплава в определенных условиях существенно возрастает [1]. Механические свойства металлов зависят от многих характеристик. Одной из возможных причин увеличения деформируемости может быть рост диффузионной подвижности атомов матрицы при ее насыщении межузельными атомами водорода. Очевидного ответа на вопрос о том, как влияет водород на самодиффузию и гетеродиффузию примесей замещения в матрице, нет. Этот вопрос имеет не только прикладное значение. Он является частью большой неизученной проблемы о влиянии примесей внедрения, которые расположены в междоузлиях и могут перемещаться по решетке без участия вакансий, на диффузию атомов матрицы, которые занимают решеточные места и могут перемещаться только путем обмена местами с вакансиями.

Нами была исследована гетеродиффузия титана в цирконии, насыщенном водородом или дейтерием. Титан и цирконий образуют диаграмму с полной взаимной растворимостью в твердом состоянии как выше, так и ниже аллотропического превращения из  $\alpha$ -фазы с ГПУ решеткой в  $\beta$ -фазу с ОЦК решеткой [2]. Чтобы не усложнять задачу, диффузию изучали при температурах выше этого перехода.

Растворимость H и D в  $\beta$ -фазе титана и циркония достаточно велика и приближается к 50 ат.% [2]. При этих температурах парциальное давление водорода над сплавами  $TiH_x$  в несколько раз выше, чем над сплавами  $ZrH_x$  с той же концентрацией водорода (например, при  $T \approx 930^\circ C$  они равны  $10^5$  и  $1,3 \cdot 10^4$  Па для  $TiH_{0,5}$  и  $ZrH_{0,5}$ , соответственно) [3]. Поскольку коэффициент диффузии атомов H и D на много порядков выше, чем для атомов замещения, можно считать, что во время диффузионного отжига химический потенциал атомов внедрения одинаков всюду в диффузионной паре. Это означает, что в диффузионной паре, составленной из титана и циркония, основное количество изотопа водорода будет содержаться в Zr, концентрация его в диффузионной зоне будет уменьшаться в направлении увеличения концентрации Ti до близкой к нулю величины в самом титане. Если в начале отжига водород ввести в титан, то основная его масса через газовую фазу миграирует в цирконий раньше, чем произойдет заметная диффузия металлических компонентов. Таким образом, наша постановка работы подразумевает, что о зависимости коэффициента взаимной диффузии металлов от концентрации атомов внедрения можно судить только в области, богатой цирконием. Для получения первых общих оценок такая постановка вполне оправдана.

В качестве исходных материалов использовали йодидный титан и цирконий, которые были подвергнуты электронно-лучевому переплаву в вакууме. После этого концентрация углерода в титане составляла 0,01 ат.%, а кислорода 0,02 ат.%. Было подготовлено два сплава циркония с водородом и два — циркония с дейтерием:



$ZrD_{0,13}$  ( $Zr$  — 11,5 ат. % D);  $ZrD_{0,37}$  ( $Zr$  — 27,0 ат. % D).

Для изготовления сплавов навески циркония, вырезанные из одного слитка, отжигали в вакууме  $10^{-7}$  Па при  $800^\circ$  в течение 20 мин. Затем в реактор с навеской запускали дозированное количество изотопа водорода, полученного термическим разложением  $TiH(D)_2$ . Основное количество водорода (дейтерия) поглощалось по мере поступления его в реактор, остальное — в процессе медленного (около 5 час) охлаждения печи.

Концентрацию изотопа определяли с точностью 1 ат. % методом взвешивания образцов до и после насыщения. Образцы для диффузионных отжигов вырезали на электронсировом станке в форме «четвертушки» цилиндра диаметром 19 мм и высотой 3 мм (циркониевые) или 2 мм (титановые). Будущую поверхность контакта титана и сплавов циркония механически шлифовали и полировали. На поверхность сплавов циркония с помощью ионно-плазменного напыления был нанесен слой титана толщиной 5—10 мкм. Перед нанесением титана поверхность образцов очищали тлеющим разрядом в аргоне в течение 5 мин непосредственно в камере напыления. Таким образом, при диффузионном отжиге в контакт приводили не титан с цирконием,

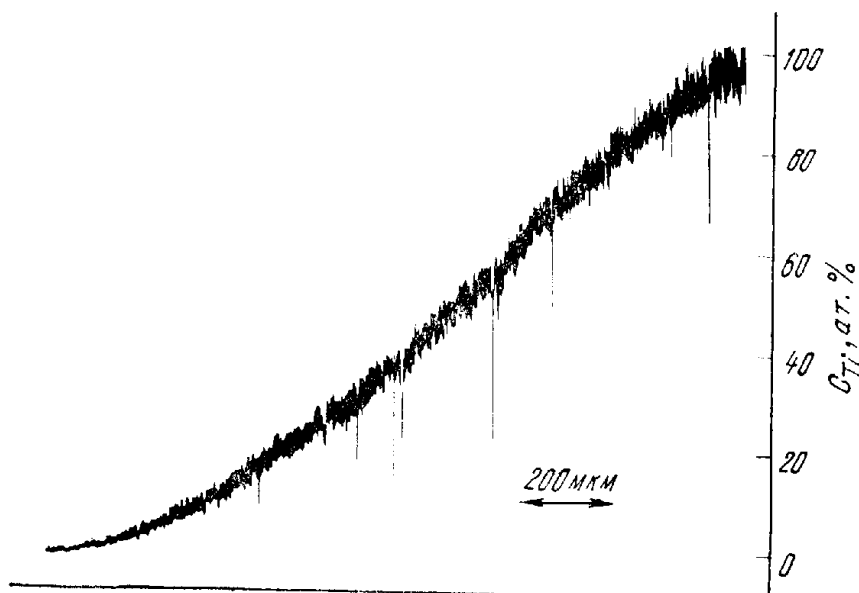


Рис. 1. Распределение концентрации титана в диффузионной зоне пары Ti—Zr. Отжиг при температуре  $983^\circ$  С.

а титан со слоем титана на поверхности циркония. Следовательно, поверхность первоначального контакта Ti и Zr формировалась не в ампуле для диффузионного отжига, в относительно «грязных» условиях, а в вакууме  $10^{-7}$  Па, непосредственно после очистки поверхности тлеющим разрядом.

Диффузионные пары  $Ti—ZrH(D)_x$  скрепляли молибденовой проволокой и запаивали в откаченные кварцевые ампулы ( $\sim 10^{-5}$  Па). Сплавы с разной концентрацией водорода и дейтерия находились в отдельных ампулах. Внутренний объем ампул составлял 3—5 см<sup>3</sup>. В каждую ампулу помещали также около 1 г титановой стружки, предназначенный для поглощения остаточных газов. Влияние ее на перераспределение водорода в связи со сказанным выше считали незначительным. Было проведено четыре диффузионных отжига при температурах 943, 983, 1023 и  $1063^\circ$  С продолжительностью 48, 63, 44,5 и 48 ч соответственно. Точность поддержания температуры составляла  $\pm 2^\circ$  С.

После отжигов образцы заливали сплавом Вуда в цилиндрических оправках. Затем перпендикулярно исходной поверхности контакта механически снимали слой толщиной 1—1,5 мм. Полученную поверхность обрабатывали шлифовальной бумагой и полировали порошком  $CrO_3$  на сукне.

Распределение концентрации циркония на полученных шлифах изучали с помощью локального микрорентгеноспектрального анализа на приборе JXA-5. Вводили все необходимые для качественного анализа поправки [4]. В диффузионной зоне во всех изученных сплавах образования пор не происходило, как это наблюдалось и ранее при исследовании взаимной диффузии Ti и Zr [5, 6]. Поэтому мы не вводили маркеров на исходном контакте титана и циркония.

Пример исходного координатного распределения концентрации титана по глубине диффузионной зоны представлен на рис. 1. Это распределение соответствует отжигу при температуре  $983^\circ$  С диффузионной пары Ti—Zr. Концентрационная зависимость коэффициента взаимной диффузии определялась с помощью простейшего дис-

крайнего варианта метода Матано [7]. Таблица значений функции  $\epsilon(x)$  задавалась с шагом 2% по концентрации, а соответствующие им координаты определяли как среднюю точку интервала пересечения координатного распределения с горизонталью  $c=c_i$ . Точность определения коэффициента диффузии таким способом в отдельно взятом измерении относительно невелика, однако при описании кривой ошибки усредняются. Поскольку наблюдаемые эффекты существенно выходили за рамки погрешности, указанная вычислительная процедура оказалась вполне достаточной для решения поставленного вопроса.

### РЕЗУЛЬТАТЫ ЭКСПЕРИМЕНТА

Величина коэффициента взаимной диффузии  $\tilde{D}$  во всех сплавах заметно зависит от концентрации металлических компонентов С. На всех концентрационных зависимостях  $\tilde{D}(C)$  наблюдается максимум при

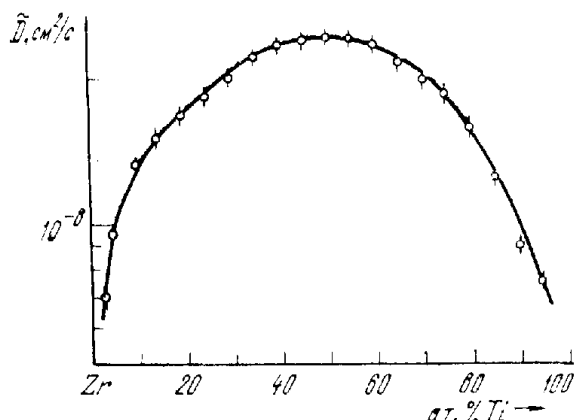


Рис. 2. Зависимость коэффициента взаимной диффузии в системе Ti—Zr от концентрации, ат. % Ti.  
 $T=1063^\circ\text{C}$ .

30—60% Ti. Пример такой зависимости для пары Ti—Zr и температуры 1063° приведен на рис. 2. Максимум  $\tilde{D}(C)$  объясняется наличием минимума на кривой солидуса в системе Ti—Zr [2]. Аналогичная корреляция формы концентрационных зависимостей коэффициента взаимной диффузии и линии солидуса наблюдалась и в других системах: Co—Mn [8], Co—Pd [9], Co—Pt [10].

Таблица 1

Энергии активации  $E_{\text{акт}}$  и предэкспоненциальные множители  $D_0$  для коэффициентов взаимной диффузии в сплавах Ti—ZrH(D)<sub>x</sub> при различной концентрации титана, ат. %

Сплав	Энергия активации $E_{\text{акт}}$ , ккал/моль ( $\pm 2$ ккал/моль)			Предэкспоненциальный множитель $D_0$ , $\text{см}^2/\text{с}$		
	30	20	0	30	20	0 % Ti
Ti—Zr	54	55	52	20	10	2
Ti—ZrH <sub>0.11</sub>	60	57	52	100	20	1
Ti—ZrH <sub>0.29</sub>	68	67	57	$3 \cdot 10^3$	700	10
Ti—ZrD <sub>0.13</sub>	63	60	61	300	40	40
Ti—ZrD <sub>0.37</sub>	103	100	88	$3 \cdot 10^6$	$4 \cdot 10^8$	$2 \cdot 10^6$

На рис. 3а—д показаны температурные зависимости коэффициентов взаимной диффузии  $\tilde{D}$  для всех изученных сплавов. На каждом рисунке приведены значения  $\tilde{D}$  для 30 и 20% Ti и величина  $\tilde{D}$ , полученная экстраполяцией к 0% Ti. Хорошо видно, что значения  $\tilde{D}$  всюду возрастают при увеличении концентрации титана. Зависимости  $\tilde{D}(T)$  для более высоких концентраций титана мы не обсуждаем, так как при переходе от циркония к титану в диффузионной зоне (см. выше) со-

держение H или D падает. Значения энергий активации  $E_{акт}$  и предэкспоненциальных множителей  $D_0$  приведены в табл. 1. Энергия активации взаимной диффузии и предэкспонента заметно возрастают при

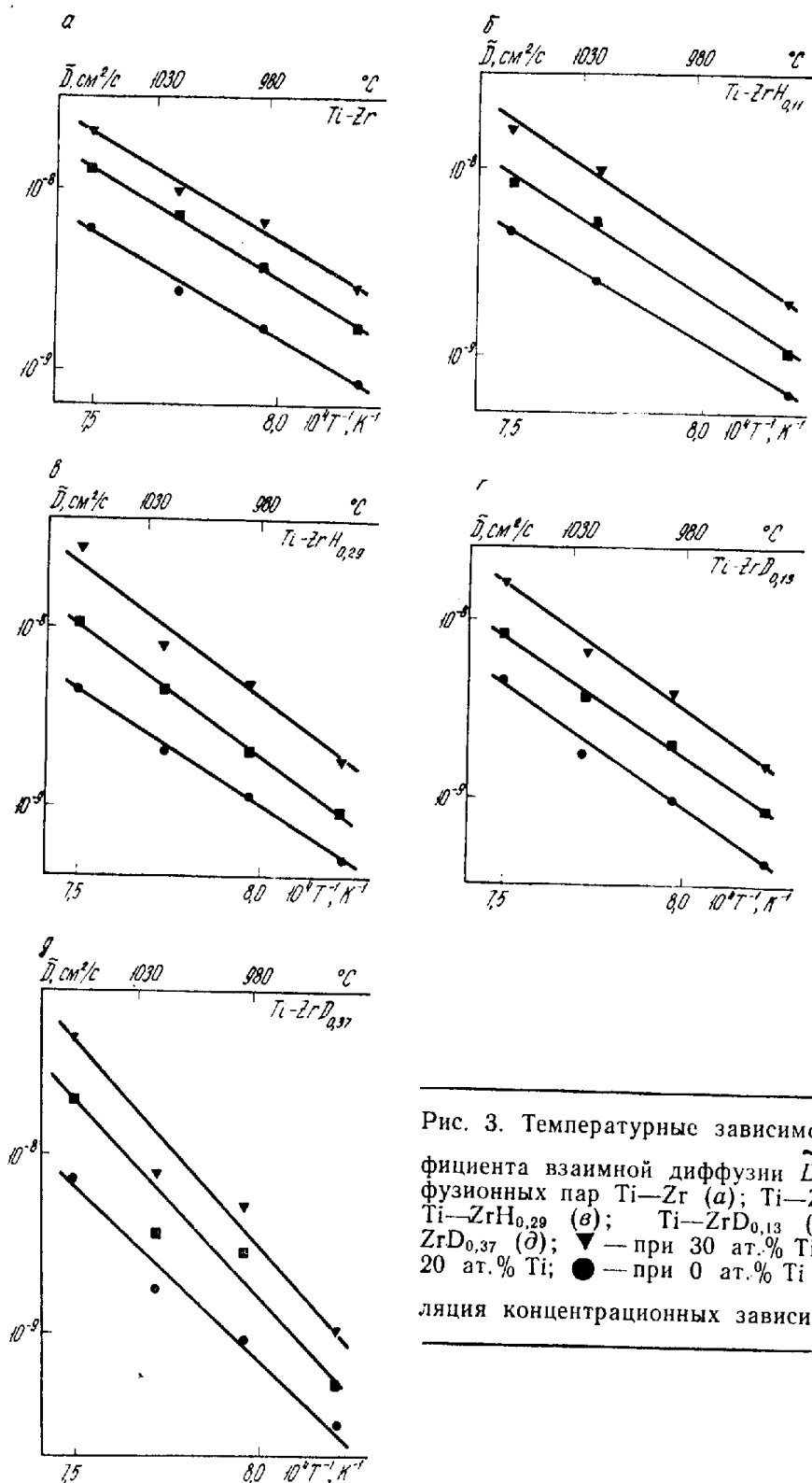


Рис. 3. Температурные зависимости коэффициента взаимной диффузии  $\tilde{D}$  для диффузионных пар Ti-Zr (a); Ti-ZrH<sub>0,11</sub> (b); Ti-ZrH<sub>0,29</sub> (c); Ti-ZrD<sub>0,13</sub> (d); Ti-ZrD<sub>0,37</sub> (e); ▼ — при 30 ат.-% Ti; ■ — при 20 ат.-% Ti; ● — при 0 ат.-% Ti (экстраполяция концентрационных зависимостей  $\tilde{D}$ ).

увеличении концентрации водорода идейтерия (см. рис. 4), причем идейтерий сильнее увеличивает  $E_{акт}$ , чем водород. О величине коэффициента взаимной диффузии нельзя сделать такого же однозначного вывода: при различных значениях температуры, концентрации H и D, со-

держания титана коэффициент  $\tilde{D}$  может быть как выше, так и ниже, чем в системе Ti—Zr без водорода и дейтерия (см. рис. 5). Из данных рис. 5 следует, что в области  $T \leq 1000^\circ\text{C}$ , где обычно наблюдается обусловленное водородом улучшение деформируемости титановых сплавов, в частном случае системы Ti—Zr легирование водородом приводит к уменьшению коэффициента взаимной диффузии металлических компонентов.

### ОБСУЖДЕНИЕ РЕЗУЛЬТАТОВ

1. Сравним наши данные по взаимной диффузии Ti и Zr без водорода и дейтерия с литературными [5, 6]:

— коэффициенты диффузии при сравнимых температурах отличаются в 3—5 раз;

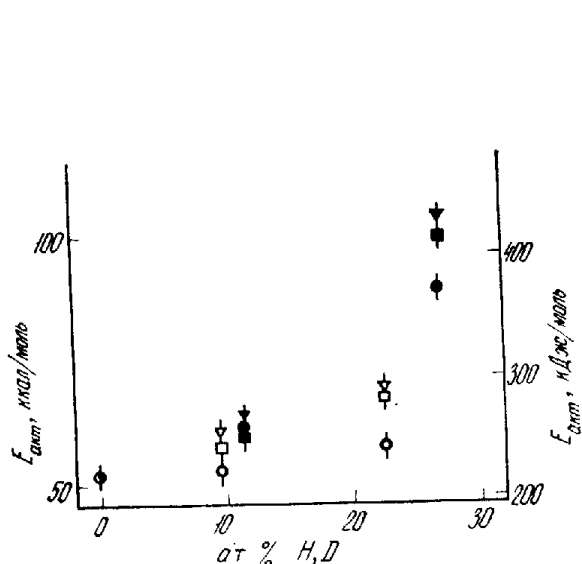


Рис. 4. Зависимость энергии активации взаимной диффузии от концентрации водорода и дейтерия. Приведены данные для разных концентраций титана. Обозначения — как на рис. 3. Светлые символы — сплавы с водородом, темные — с дейтерием. Система Ti—Zr без H и D обозначена полутемным символом.

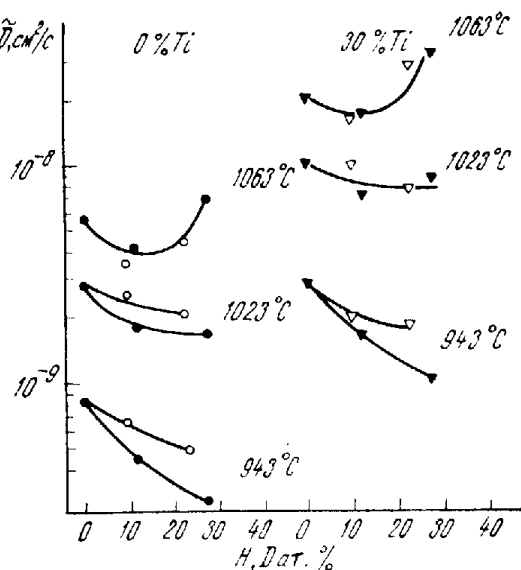


Рис. 5. Зависимости коэффициентов взаимной диффузии при разных температурах от концентрации водорода и дейтерия. Приведены данные для 30 ат.% Ti и 0 ат.% Ti. Светлые символы — сплавы с водородом, темные — с дейтерием, а также нелегированная пара Ti—Zr.

— на зависимостях  $\tilde{D}(C)$  в работе [5] наблюдались небольшие максимумы при  $\sim 50\%$  Ti, в [6] коэффициент диффузии почти не зависит от концентрации, а у нас максимумы при 30—60% Ti выражены очень сильно;

— энергия активации взаимной диффузии в интервале температур 900—1100°С в работе [5] лежит в интервале 31—26 ккал/моль (при разных концентрациях титана), в работе [6] — 33—39 ккал/моль, а у нас — 55—60 ккал/моль. Предэкспонента, соответственно, равна  $10^{-4}$ — $10^{-5}$  см<sup>2</sup>/с [4],  $10^{-3}$ — $10^{-2}$  см<sup>2</sup>/с [6] и  $10^0$ — $10^1$  см<sup>2</sup>/с.

По нашему мнению, это объясняется сильным взаимодействием титана и циркония с примесями внедрения: уже небольшие изменения в способе приготовления образцов могут сильно повлиять на кинетические свойства. Мы намеренно легировали цирконий разным количеством водорода или дейтерия. В остальном материалы и условия эксперимента были идентичными. Это позволяет сделать выводы о влиянии именно примесей внедрения — водорода и дейтерия — на диффузию.

2. Известно, что энергия активации диффузии атомов замещения в

большинстве металлов подчиняется простым полуэмпирическим корреляциям, которые связывают  $E_{акт}$  с температурой плавления или температурой солидуса  $T_s$ . Например, в соответствии с [10]  $E_{акт}$  можно представить в виде  $E_{акт} \approx 18RT_s$ . Активационные параметры диффузии в ряде аномальных ОЦК металлов выпадают из этой закономерности. Ярче всего аномалии диффузии выражены как раз в титане и цирконии: по литературным данным, в них наблюдаются сильные отклонения от закона Аррениуса в  $\beta$ -фазе при температурах, близких к температуре превращения  $\beta \rightarrow \alpha$  [5, 11, 12]. Энергия активации вблизи  $\beta \rightarrow \alpha$  перехода существенно ниже, чем при высоких температурах. Существует два основных объяснения этой аномалии, которые друг друга отнюдь не исключают:

- вблизи температуры  $\beta \rightarrow \alpha$  перехода наряду с обычным работает какой-то другой механизм диффузии — например, по дивакансиям;
- коэффициент диффузии увеличен из-за наличия избыточных вакансий, связанных кислородом.

Существуют попытки описать аномалии на языке так называемых гетерофазных флуктуаций [13].

Полуэмпирическая оценка дает для взаимной диффузии Ti и Zr величину  $E_{акт} = 18RT_s = 74$  ккал/моль. Из наших данных следует, что при легировании циркония водородом и дейтерием энергия активации диффузии возрастает и может даже превзойти это значение. Не исключено, что водород и дейтерий «компенсируют» аномальные диффузионные свойства циркония. Попробуем проанализировать причины влияния H и D на самодиффузию атомов замещения.

Известно, что внедренные атомы углерода и азота сильно влияют на само- и гетеродиффузию в сплавах замещения (см., например, [14]). В [15] была дана теория этого явления, основанная на простой микроскопической модели диффузии. Из [15] следует, что при всех разумных значениях энергий взаимодействия внедренных атомов с атомами металла-матрицы энергия активации самодиффузии последнего падает, а коэффициент самодиффузии увеличивается. Из модели [15] видно, что обратный эффект, вообще говоря, тоже может наблюдаться, но приращение энергии активации получается при этом таким малым, что оно не поддается экспериментальному определению. Поэтому, чтобы объяснить наблюдаемый нами рост  $E_{акт}$  и  $D_0$  при увеличении концентрации H и D, нужно привлечь дополнительные соображения. Физической причиной роста энергии активации и предэкспоненты может быть сильное взаимодействие внедренных атомов с вакансиями, не учтенное в [15]. Мы однако не будем строить подробной микроскопической модели, а по-прежнему ограничимся простыми полуэмпирическими корреляциями.

Из пунктов 1 и 2 следует, что энергия активации в сплаве повышается, если растет его температура плавления. Известно, что гидриды — а следовательно и дейтериды — титана и циркония более тугоплавки, чем сами Ti и Zr [3]. Это значит, что добавка водорода или дейтерия приведет к повышению температуры солидуса  $T_s$ , а следовательно, и энергии активации диффузии в сплаве — что и наблюдается в наших опытах. К сожалению, температура плавления гидридов и дейтеридов Ti и Zr неизвестна. Оценим ее из наших диффузионных данных и сравним с температурами плавления других фаз внедрения циркония. Воспользуемся корреляцией  $E_{акт}$  и  $T_s$  в виде:  $E \approx 18RT_s$  [14]. Пусть в гидриде Zr содержится 50 ат.% водорода. Экстраполируя к 50 ат.% H или D зависимости  $E_{акт}$  на рис. 4, получаем:

$$E_{акт} \approx 65 \text{ ккал/моль (для 50% H);}$$

$$E_{акт} \approx 115 \text{ ккал/моль (для 50% D).}$$

Тогда температуры плавления гидрида и дейтерида равны, соответственно, 2200 и 4100° С. Эти значения близки к оценке [16]. Для сравнения укажем, что температуры плавления карбида ZrC, нитрида ZrN и борида ZrB<sub>2</sub> равны, соответственно: 3175, 2980 и 3040° С [2].

3. По полученным нами диффузионным данным можно оценить влияние водорода на термодинамику раствора Ti—Zr. Известно, что для большого количества твердых растворов с неограниченной взаимной растворимостью коэффициент диффузии  $\tilde{D}$  можно выразить как [17]:

$$\tilde{D} = (D_{AB}g_{AB})/\exp\left[\frac{16\Delta T_s}{RT}\right], \quad (1)$$

где  $g_{AB}$  — термодинамический множитель;  $D_{AB} = N_A D_A^0 + N_B D_B^0$  — коэффициент диффузии, определяемой по прямой, проходящей через коэффициенты диффузии  $D_A^0$  и  $D_B^0$  чистых компонентов ( $N_A$  и  $N_B$  — мольные концентрации);  $\Delta T_s = T_s^{AB} - N_A T_m^A - N_B T_m^B$  — разность между температурой солидуса и температурой, вычисленной по прямой, проходящей между температурами плавления чистых компонентов  $T_m^A$  и  $T_m^B$ .

Таблица 2  
Концентрационная зависимость термодинамического множителя  $g$   
для взаимной диффузии при 1023° С

C, ат. %	Ti-Zr	Ti—ZrH <sub>0,11</sub>	Ti—ZrH <sub>0,29</sub>	Ti—ZrD <sub>0,13</sub>	Ti—ZrD <sub>0,37</sub>
10	1,8±0,3	1,6±0,1	1,4±0,1	1,7±0,1	1,6±0,1
20	2,2±0,3	2,1±0,1	1,8±0,1	2,0±0,1	1,9±0,1
30	2,0±0,3	2,1±0,1	1,8±0,1	2,0±0,1	2,0±0,1
40	1,7±0,3	1,9±0,1	1,7±0,1	1,9±0,1	1,9±0,1
50	1,5±0,3	1,7±0,1	1,5±0,1	1,6±0,1	1,7±0,1

Результаты вычислений  $g_{AB}$  для отжига при  $T=1023^\circ\text{C}$  приведены в табл. 2. Соотношение  $g_{AB}>1$  говорит о склонности к упорядочению твердого раствора Ti—Zr. Видно также, что с ростом содержания водорода в сплавах  $g_{AB}$  несколько уменьшается. Это может быть связано с тем, что водород снижает склонность раствора Ti—Zr к упорядочению [18]. От содержания дейтерия величина  $g_{AB}$  в рамках наших экспериментов не зависит. Однако следует помнить, что при расчете по формуле (1) мы пользуемся диаграммой Ti—Zr без водорода или дейтерия, а дейтерий, как отмечалось, сильно влияет на температуру солидуса.

## ВЫВОДЫ

1. Легирование циркония водородом и дейтерием повышает энергию активации и предэкспоненциальный множитель коэффициента химической диффузии титана.

2. Таким образом добавка водорода и дейтерия приближает диффузионные свойства циркония к свойствам обычных, а не аномальных металлов.

3. Дейтерий сильнее, чем водород, повышает энергию активации диффузии атомов матрицы.

4. Оценки на основе полуэмпирических корреляций дают температуру плавления для гидрида циркония 2200° С, а для дейтерида — 4100° С.

5. Водород и дейтерий снижают склонность к упорядочению в твердом растворе  $\beta$ -Ti— $\beta$ -Zr.

Авторы благодарят Е. Г. Понятовского и Л. С. Швендлермана за плодотворное обсуждение постановки и результатов работы, а В. Г. Глебовского и Н. Ф. Вершинина за помощь в подготовке образцов.

Институт физики твердого тела  
Черноголовка

Поступила в редакцию  
5 ноября 1987 г.;  
в окончательном варианте —  
30 мая 1991 г.

### ЛИТЕРАТУРА

1. Носов В. К., Колачев Б. А. Водородное пластифицирование при горячей деформации титановых сплавов. — М.: Металлургия, 1986. — 119 с.
2. Хансен М., Андерко К. Структуры двойных сплавов. Т. 1 и 2. — М.: Металлургиздат, 1962. — 1488 с.
3. Мюллер В., Блекледж Д., Либовиц Дж. Гидриды металлов. — М.: Атомиздат, 1973. — 429 с.
4. Рид С. Электронно-зондовый микроанализ. — М.: Мир, 1979. — 423 с.
5. Raghunathan V. C., Tivari G. P., Sharmas B. D. Chemical diffusion in the  $\beta$ -phase of the Zr—Ti alloy system. — Met. Trans., 1972, 3, N 4, p. 783—788.
6. Brunsch A., Steeb S. Diffusionsuntersuchungen im System Ti—Zr mittels Mikrosonde. — Zs. Naturforschung, 1974, 29a, N 9, S. 1319—1329.
7. Гуров К. П., Карташкян Б. А., Угасте Ю. Э. Взаимная диффузия в многофазных металлических системах. — М.: Наука, 1981. — 350 с.
8. Iijima Y., Taguchi O., Hirano K.-I. Interdiffusion in Co—Mn Alloys. — Met. Trans. A, 1977, 8A, N 6, p. 991—995.
9. Iijima Y., Hirano K.-I. Interdiffusion in Co—Pd Alloys. — Trans. Japan Inst. Metals, 1972, 13, N 6, p. 419—424.
10. Iijima Y., Taguchi O., Hirano K.-I. Interdiffusion in Co—Pt Alloys. — Trans. Japan Inst. Metals, 1980, 21, N 5, p. 367—374.
11. Murdock J. F., Lundy T. S., Stansbury E. E. Diffusion of Ti<sup>4+</sup> and V<sup>4+</sup> in titanium. — Acta Met., 1964, 12, N 9, p. 1033—1039.
12. Federer J. I., Lundy T. S., Diffusion of Zr<sup>95</sup> and Nb<sup>95</sup> in bcc Zirconium. — Trans. Met. Soc. AIME, 1963, 227, N 3, p. 592—597.
13. Sanchez J. M., De Fontaine D. Anomalous diffusion in omega forming systems. — Acta Met., 1978, 26, N 7, p. 1083—1095.
14. Бокштейн Б. С., Бокштейн С. З., Жуховицкий А. А. Термодинамика и кинетика диффузии в твердых телах. — М.: Металлургия, 1974. — 280 с.
15. Кривоглаз М. А., Смирнов А. А. О влиянии внедренных атомов на самодиффузию металла. — ДАН СССР, 1954, 96, № 3, с. 495—498.
16. Андреевский Р. А., Левинский Ю. В. О температурах плавления некоторых гидридов переходных металлов. — Изв. АН СССР, Неорг. материалы, 1981, 17, № 1, с. 54—58.
17. Vignes A., Birchall C. E. Concentration dependence of the interdiffusion coefficient in binary metallic solid solution. — Acta Met., 1968, 16, N 9, p. 1117—1125.
18. Мирон Н. Ф., Щербак В. И., Быков В. Н., Левдик В. А. Структурное исследование квазибинарного разреза Zr<sub>0.35</sub>Ti<sub>0.65</sub>—H(D). — Кристаллография, 1971, 16, № 2, с. 324—328.